偏土圧を受ける3ヒンジ式アーチカルバートの動的遠心模型実験 ー曲げモーメント・軸力関係ー

京都大学大学院 学生会員 〇 塩梅 恭平, 宮﨑 祐輔 京都大学工学研究科 正会員 澤村 康生, 岸田 潔, 木村 亮

1. はじめに

2011年東日本大震災において、9基の3ヒンジ式アーチカルバートが供用性を損なう被災を経験した ¹⁾. 筆者らの研究グループは、これを背景として、被災メカニズムの解明を目的に、入力地震動の方向や種々の土被り条件に対する3ヒンジ式アーチカルバートの地震時挙動を確認した ^{2),3)}. その結果、特に盛土高さがカルバートの左右で異なるアーチに偏土圧が生じる場合に、アーチと地盤の一体性が損なわれている可能性があることを確認した ⁴⁾. 本稿では、偏土圧を受ける3ヒンジ式アーチカルバートの曲げモーメント・軸力関係について、整理した結果を述べる.

2. 実験概要

図 1 に実験模型の概略図を示す. 本実験は遠心力 50 G 場で実施した. ひずみゲージはアーチ模型の内側と外側に貼付し, 両アーチ部材の脚部から頂部にかけて計 10 点計測している. ひずみはカルバート横断方向の断面力を計測した. その他の実験概要は前稿 4)を参照されたい.

本実験ではアルミ模型を用いるため、実構造である RC 部材の終局曲げモーメントによる直接的な健全度の評価はできない。しかし、断面力の相互作用線 M-N 相互作用図と終局曲げモーメント M_u の比較で行うことで、アーチ部材の破壊モードの考察を行う。 M_u の導出は以下の式により算出する。

$$M_u = (0.8a_t\sigma_y D + 0.12\sigma_B b D^2) \frac{N_{max} - N}{N_{max} - 0.4\sigma_B b D}$$

$$(0.4bD\sigma_B \le N \le N_{max})$$

$$(1)$$

$$M_u = 0.8a_t \sigma_y D + 0.5ND \left(1 - \frac{N}{\sigma_B bD} \right)$$

$$(0 \le N \le 0.4bD\sigma_B)$$
(2)

$$M_{u} = 0.8a_{t}\sigma_{y}D\left(1 - \frac{N}{N_{min}}\right)$$

$$(N_{min} \leq N \leq 0)$$
(3)

ここで、 α_t : 圧縮鉄筋の総断面積、 σ_y : 主筋降伏強度、D: 有効せい、 σ_B : 圧縮強度、b: 幅、 N_{max} : 純圧縮強度、N: 軸力、 N_{min} : 純引張強度を示す.破壊規準線の算出にあたり、設計マニュアル $^{5)}$ を参考に、降伏強度 $\sigma_B = 35$ [N/mm 2] とし、図 2 に示す配筋位置の RC 部材を想定し考察を行う.

3. 実験結果

以下の結果ではプロトタイプ換算した値を用いる.

模型寸法 mm 括弧内はプロトタイプ換算値

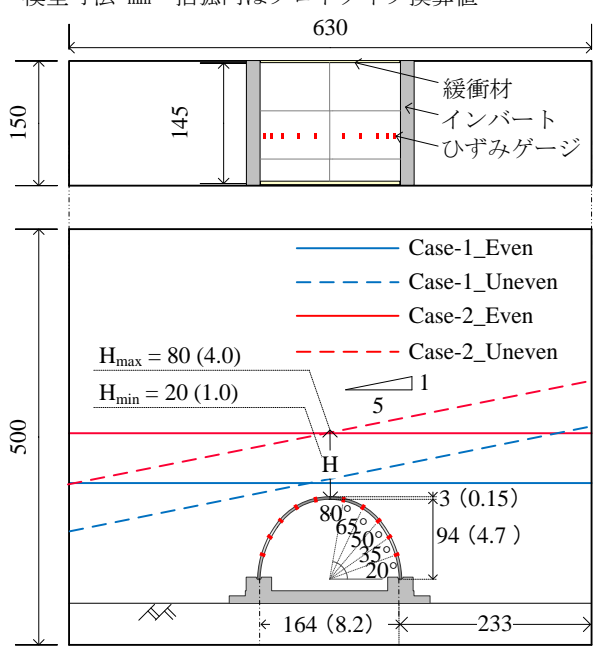


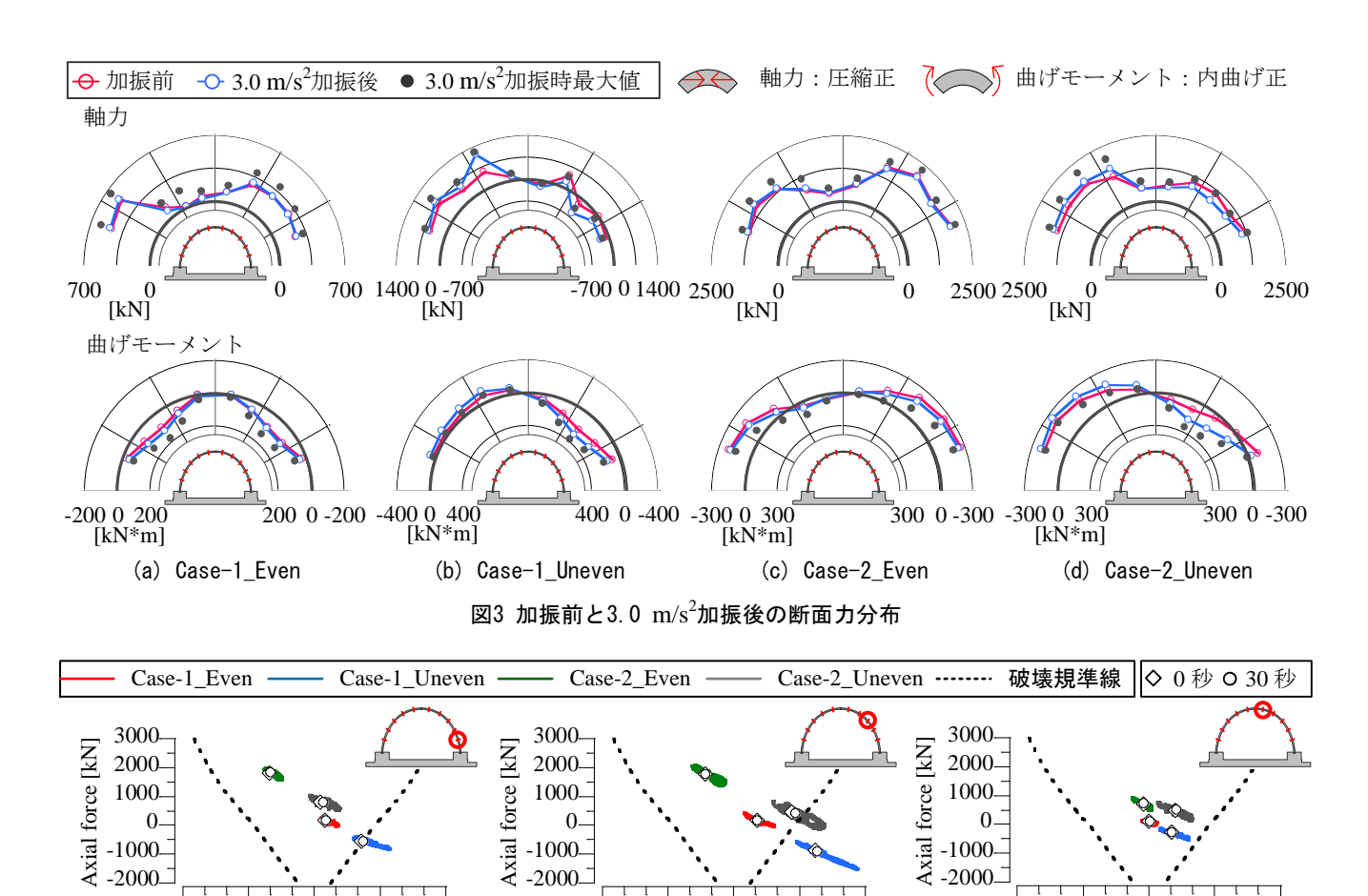
図1 実験模型概略図



図3にカルバートの軸力と曲げモーメントの分布を示す. 偏土圧を受ける場合は、土圧が均等な場合と比較して、土被りの大きい側では軸力が小さく、内空側に曲げが生じる. 一方、土被りの小さい側では、軸力に大きな差はみられないが、外側に大きな曲げが生じる.加振後は、土被りの大きい側で軸力がさらに減少した。曲げモーメントについては、土被りの大きい側では内空側に、小さい側では外側に初期状態からさらに増大した。宮崎ら3の研究と本研究と比較すると、初期状態および加振による変化に大きな違いは無く、一定の再現性を得た。しかし、Case-1_Uneven 右側の軸力は先の検討3よりも小さく、引張力が生じた。

図4に4.0 m/s²加振時のM-N相互作用図を示す. 偏土 圧を受ける場合, 肩部において加振前からの軸力や曲げ モーメントの変化量が脚部や頂部より大きく, その結果, 相 対的に土被りの大きい右側では内空側への曲げモーメン

キーワード 3 ヒンジ式アーチカルバート, 偏土圧, 動的遠心模型実験, カルバート横断方向 連絡先 〒615-8540 京都市西京区京都大学桂 京都大学大学院工学研究科 TEL 075-383-3231



force [kN] force [kN] 2000 2000 1000 1000-0. (). -2000--1000-X -2000-600 -300 300 -300 300 Bending moment [kN*m] Bending moment [kN*m] (b) 肩部(50°) (c) 頂部 (80°) 図4 曲げモーメント-軸力相互作用図

600

トが増大し、なおかつ軸力が小さくなり引張力が生じる. 特 に Case-1_Uneven 右側では肩部だけでなく脚部において も,軸力が小さくなり内空側への曲げモーメントが大きくな る. 破壊規準線を参照すると, Case-1_Uneven 右側脚部か ら肩部にかけて、および、Case-2 Uneven の右側肩部にお いて、実RC 構造のアーチ部材の場合曲げ引張破壊が生 じる危険性があることがわかる.

4. まとめ

-600

-600

3000-Eig -2000-8 1000-0-1000-V -2000-

3000-

-300

-300

(a) 脚部(20°)

0

Bending moment [kN*m]

0

Bending moment [kN*m]

300

300

600

-600

3000-

-300

0

Bending moment [kN*m]

300

偏土圧を受ける 3 ヒンジ式アーチカルバートに対して、 カルバート横断方向の地震動を入力した結果, 相対的に 土被りが大きいアーチ部材は、脚部から肩部にかけて加 振中に軸力が小さく,内空側へ曲げモーメントが大きくなる. これより, 同じ条件における実 RC 構造のアーチ部材は曲 げ引張破壊に至る危険性がある.

謝辞:本研究は、公益信託 NEXCO 関係会社高速道路

防災対策等に関する支援基金の研究助成を受けて実施し た. ここに記して謝意を表す.

-300

0

Bending moment [kN*m]

300

600

-600

3000-

参考文献

- 安部・中村:高速道路における大型のプレキャスト部材を用 いたカルバートの活用と適用上の留意点,基礎工, Vol.42, No4, 2014.
- 宮﨑ら: 偏土圧の影響を受けるアーチカルバートの縦断方 向の地震時挙動に関する遠心模型実験,第 52 回地盤工 学研究発表会, pp.1075-1076, 名古屋市, 2017-7.
- 宮﨑ら: 偏土圧の影響に着目した3 ヒンジ式アーチカルバ ートの横断方向の地震時挙動,第72回土木学会年次学 術講演会, III-377, pp.753-754, 福岡市, 2017-9.
- 塩梅ら: 偏土圧を受ける3 ヒンジ式アーチカルバートの動的 遠心模型実験 ーカルバートと地盤の応答加速度の関係 一,土木学会関西支部,平成30年度関西支部年次学術講 演概要(投稿中)
- 財団法人 先端建設技術センター「テクスパン工法設計施 エマニュアル検討委員会」:テクスパン工法設計施工マニュ アル(案), 1998.